

## ·论著·

# 辛伐他汀对脂多糖诱导的Ⅱ型肺泡上皮细胞钠通道 $\alpha$ 亚基的影响

刘佩英 徐道妙

**【摘要】目的** 通过体外给药的方式观察辛伐他汀对脂多糖(LPS)诱导的原代培养大鼠Ⅱ型肺泡上皮细胞(ATⅡ)钠通道 $\alpha$ 亚基( $\alpha$ -ENaC)mRNA表达的影响。**方法** ATⅡ细胞原代培养,分为空白对照组、LPS损伤组(终浓度1 mg/L)、辛伐他汀低和高剂量组(20  $\mu$ mol/L、30  $\mu$ mol/L)、溶剂对照组。分别于培养1、12、24 h用酶联免疫吸附试验(ELISA)检测细胞上清中肿瘤坏死因子- $\alpha$ (TNF- $\alpha$ )、白细胞介素-1 $\beta$ (IL-1 $\beta$ )的浓度,用逆转录-聚合酶链反应(RT-PCR)检测细胞中 $\alpha$ -ENaC mRNA表达。**结果** LPS损伤后1、12、24 h时TNF- $\alpha$ 、IL-1 $\beta$ 浓度均较空白对照组显著升高。辛伐他汀低剂量组1、12、24 h TNF- $\alpha$ (ng/L)和IL-1 $\beta$ (ng/L)均较LPS损伤组明显下降(TNF- $\alpha$  1 h: 1178.80  $\pm$  127.43 vs. 2336.00  $\pm$  170.04, 12 h: 1003.60  $\pm$  59.61 vs. 2479.80  $\pm$  210.41, 24 h: 695.80  $\pm$  25.24 vs. 1167.60  $\pm$  132.72; IL-1 $\beta$  1 h: 285.00  $\pm$  42.60 vs. 429.60  $\pm$  27.39, 12 h: 238.60  $\pm$  24.12 vs. 822.20  $\pm$  12.74, 24 h: 213.40  $\pm$  17.87 vs. 637.60  $\pm$  22.96, 均  $P < 0.05$ ),高剂量组较低剂量组下降更明显(TNF- $\alpha$  1 h: 965.60  $\pm$  24.45 vs. 1178.80  $\pm$  127.43, 12 h: 522.80  $\pm$  16.89 vs. 1003.60  $\pm$  59.61, 24 h: 252.40  $\pm$  17.64 vs. 695.80  $\pm$  25.24; IL-1 $\beta$  1 h: 225.60  $\pm$  34.44 vs. 285.00  $\pm$  42.60, 12 h: 190.60  $\pm$  17.64 vs. 238.60  $\pm$  24.12, 24 h: 152.80  $\pm$  14.70 vs. 213.40  $\pm$  17.87, 均  $P < 0.05$ ),但仍较空白对照组明显上升。在培养1 h时各组 $\alpha$ -ENaC mRNA表达差异均无统计学意义。培养12 h、24 h时,LPS损伤组 $\alpha$ -ENaC mRNA表达(A值)明显低于空白对照组(12 h: 0.211  $\pm$  0.021 vs. 0.496  $\pm$  0.027, 24 h: 0.253  $\pm$  0.030 vs. 0.482  $\pm$  0.030, 均  $P < 0.05$ );辛伐他汀低剂量组 $\alpha$ -ENaC mRNA表达均较LPS损伤组明显上升(12 h: 0.363  $\pm$  0.030 vs. 0.211  $\pm$  0.021, 24 h: 0.309  $\pm$  0.024 vs. 0.253  $\pm$  0.030, 均  $P < 0.05$ ),高剂量组较低剂量组升高更明显(12 h: 0.413  $\pm$  0.034 vs. 0.363  $\pm$  0.030, 24 h: 0.346  $\pm$  0.024 vs. 0.309  $\pm$  0.024, 均  $P < 0.05$ ),但仍较空白对照组明显下降。空白对照组与溶剂对照组各指标差异无统计学意义。**结论** 大剂量辛伐他汀可上调LPS诱导的大鼠ATⅡ细胞 $\alpha$ -ENaC mRNA表达,其机制可能与调节TNF- $\alpha$ 、IL-1 $\beta$ 的分泌有关。

**【关键词】** 脂多糖; 肺泡上皮细胞, Ⅱ型; 辛伐他汀; 钠通道 $\alpha$ 亚基

**Effects of simvastatin on lipopolysaccharide induced  $\alpha$ -subunit epithelial sodium channel mRNA in rat lung alveolar type II epithelial cells** LIU Pei-ying, XU Dao-miao. Department of Critical Care Medicine, Xiangya Hospital, Central South University, Changsha 410000, Hunan, China  
Corresponding author: XU Dao-miao, Email: xudaomiao@medmail.com.cn

**[Abstract]** **Objective** To study the impact of simvastatin on  $\alpha$ -subunit epithelial sodium channel ( $\alpha$ -ENaC) mRNA expression in primary culture alveolar type II (AT II) epithelial cell of rats induced by lipopolysaccharide (LPS) in vitro. **Methods** AT II of primary generation were isolated from adult Sprague-Dawley (SD) rats. The cells were randomly divided into five groups: blank control group, LPS injured group (final concentration of LPS 1 mg/L), simvastatin low and high concentration groups (final concentration of simvastatin 20  $\mu$ mol/L, 30  $\mu$ mol/L, respectively), solution control group. Then, after being intervened for 1, 12 and 24 hours, the level of human tumor necrosis factor- $\alpha$  (TNF- $\alpha$ ) and interleukin-1 $\beta$  (IL-1 $\beta$ ) were monitored by enzyme-linked immunosorbent assay (ELISA), and  $\alpha$ -ENaC mRNA expression was tested by reverse transcription-polymerase chain reaction (RT-PCR). **Results** After being intervened for 1, 12 and 24 hours, expressions of TNF- $\alpha$  and IL-1 $\beta$  in LPS injured group were obviously higher than those in blank control group. Expressions of TNF- $\alpha$  (ng/L) and IL-1 $\beta$  (ng/L) at 1, 12 and 24 hours in simvastatin low concentration group were significantly decreased compared with those in LPS injured group (TNF- $\alpha$  1 hour: 1178.80  $\pm$  127.43 vs. 2336.00  $\pm$  170.04, 12 hours: 1003.60  $\pm$  59.61 vs. 2479.80  $\pm$  210.41, 24 hours: 695.80  $\pm$  25.24 vs. 1167.60  $\pm$  132.72; IL-1 $\beta$  1 hour: 285.00  $\pm$  42.60 vs. 429.60  $\pm$  27.39, 12 hours: 238.60  $\pm$  24.12 vs. 822.20  $\pm$  12.74, 24 hours: 213.40  $\pm$  17.87 vs. 637.60  $\pm$  22.96, all  $P < 0.05$ ). Expressions of TNF- $\alpha$  and IL-1 $\beta$  in high concentration group were decreased more obviously than those in low concentration group (TNF- $\alpha$  1 hour: 965.60  $\pm$  24.45 vs. 1178.80  $\pm$  127.43, 12 hours: 522.80  $\pm$  16.89 vs. 1003.60  $\pm$  59.61, 24 hours: 252.40  $\pm$  17.64 vs. 695.80  $\pm$  25.24; IL-1 $\beta$  1 hour: 225.60  $\pm$  34.44 vs. 285.00  $\pm$  42.60, 12 hours: 190.60  $\pm$  17.64 vs. 238.60  $\pm$  24.12, 24 hours: 152.80  $\pm$  14.70 vs. 213.40  $\pm$  17.87, all  $P < 0.05$ ), but increased compared with those in blank control group. After being intervened for 1 hour, no evident changes were observed in expression of  $\alpha$ -ENaC mRNA in all groups. After being intervened for 12 hours and 24 hours, evident decrease in expression of  $\alpha$ -ENaC

mRNA (*A* value) was observed in LPS injured group compared with blank control group (12 hours:  $0.211 \pm 0.021$  vs.  $0.496 \pm 0.027$ , 24 hours:  $0.253 \pm 0.030$  vs.  $0.482 \pm 0.030$ , both  $P < 0.05$ ). Expressions of  $\alpha$ -ENaC mRNA in simvastatin low concentration group evidently increased compared with those in LPS injured group (12 hours:  $0.363 \pm 0.030$  vs.  $0.211 \pm 0.021$ , 24 hours:  $0.309 \pm 0.024$  vs.  $0.253 \pm 0.030$ , both  $P < 0.05$ ). Expressions of  $\alpha$ -ENaC mRNA in simvastatin high concentration group increased more obviously compared with those in low concentration group (12 hours:  $0.413 \pm 0.034$  vs.  $0.363 \pm 0.030$ , 24 hours:  $0.346 \pm 0.024$  vs.  $0.309 \pm 0.024$ , both  $P < 0.05$ ), but decreased compared with blank control group. No evident difference in expressions of all indexes in solution control group was observed compared with those in blank control group. **Conclusions** High dose simvastatin could improve  $\alpha$ -ENaC mRNA expression in primary culture AT II epithelial cells of rats. This may act by modulation the level of TNF- $\alpha$  and IL-1 $\beta$ .

**[Key words]** Lipopolysaccharide; Alveolar epithelial cell, type II; Simvastatin;  $\alpha$ -subunit epithelial sodium channel

急性呼吸窘迫综合征(ARDS)的主要发病机制是肺通透性增加、肺水增多,如何清除肺水成为人们研究治疗急性肺损伤(ALI)/ARDS 的热点。研究表明,对肺水清除起关键作用的是 II 型肺泡上皮细胞(AT II)上的钠通道<sup>[1]</sup>;钠通道  $\alpha$  亚基( $\alpha$ -ENaC)可能是影响钠水转运的主要亚基<sup>[2]</sup>。辛伐他汀为他汀类降脂药,研究表明,使用大剂量辛伐他汀后 A549 细胞阿米洛利敏感型  $\alpha$ -ENaC mRNA 表达及蛋白分泌均明显增加<sup>[3]</sup>,但是该实验研究的是辛伐他汀对正常培养的 A549 细胞  $\alpha$ -ENaC 的影响,其对脂多糖(LPS)作用的 AT II 细胞  $\alpha$ -ENaC 是否也有影响,鲜有相关报道。本实验中通过观察不同剂量辛伐他汀对 LPS 诱导体外培养大鼠 AT II 细胞肿瘤坏死因子- $\alpha$ (TNF- $\alpha$ )、白细胞介素-1 $\beta$ (IL-1 $\beta$ )分泌和  $\alpha$ -ENaC mRNA 表达的影响,探讨辛伐他汀对 AT II 细胞钠通道的影响及可能机制,从而为 ALI/ARDS 的药物治疗提供新的思路。

## 1 材料与方法

**1.1 实验动物及细胞培养:** 健康清洁级雄性 SD 大鼠,体重 180~220 g,由中南大学湘雅医学院动物部提供,动物合格证号:SCXK(湘)2009-0004。按照文献[4]方法分离、纯化和培养 AT II 上皮细胞,免疫黏附法纯化细胞,锥虫蓝法鉴定细胞活性。

**1.2 药物准备:** 4 mg 辛伐他汀溶于无水乙醇 100  $\mu$ L 中,加 0.1 mol/L 氢氧化钠溶液 150  $\mu$ L,在 50 ℃水浴中温育 2 h,调节 pH 值到 7.0,4 ℃保存备用。

**1.3 细胞分组:** 将分离、纯化的细胞后分为 5 组。空白对照组:仅加 DMEM 培养基;LPS 损伤组:LPS(终浓度 1 mg/L) + DMEM 培养基;辛伐他汀低剂量组:

LPS(终浓度 1 mg/L) + DMEM 培养基 + 辛伐他汀(终浓度 20  $\mu$ mol/L);辛伐他汀高剂量组:LPS(终浓度 1 mg/L) + DMEM 培养基 + 辛伐他汀(终浓度 30  $\mu$ mol/L);溶剂对照组:辛伐他汀溶剂 + DMEM 培养基。加入其他试剂后置于 37 ℃、5%CO<sub>2</sub> 培养箱培养 30 min,再加入辛伐他汀,加样后继续培养。

**1.4 检测指标及方法:** 分别于培养 1、12、24 h 时检测上清液中 TNF- $\alpha$ 、IL-1 $\beta$  的浓度及 AT II 细胞  $\alpha$ -ENaC mRNA 的表达,重复 5 次。

**1.4.1 TNF- $\alpha$ 、IL-1 $\beta$  测定:** 采用酶联免疫吸附试验(ELISA),操作按试剂盒(上海博古生物科技有限公司)说明书进行。

**1.4.2 采用实时荧光定量逆转录 - 聚合酶链反应(RT-PCR) 测定 AT II 细胞  $\alpha$ -ENaC mRNA 表达:** TRIzol-酚 - 氯仿一步提取总 RNA, 逆转录反应体系 20  $\mu$ L, 行 RT-PCR 扩增。 $\alpha$ -ENaC 引物序列:上游引物 5'-gtcaaacattttttcaagg-3', 下游引物 5'-agaa gtgtgatgaccaggag-3', 扩增产物大小 177 bp;三磷酸甘油醛脱氢酶(GAPDH)引物序列:上游引物 5'-ctcatga ccacagtccatgc-3', 下游引物 5'-ttcagtcggatgacacct-3', 扩增产物大小 155 bp。PCR 扩增条件:95 ℃预变性 5 min, 94 ℃变性 30 s, 55 ℃退火 30 s, 72 ℃延伸 60 s, 共 40 个循环;最后 72 ℃延伸 10 min。测吸光度(*A*)值,计算出  $\alpha$ -ENaC mRNA 相对定量。

**1.5 统计学处理:** 采用 SPSS 16.0 统计软件进行统计处理,计量资料以均数  $\pm$  标准差( $\bar{x} \pm s$ )表示,先进行方差齐性检验,方差齐时两两比较采用 SNK-q 检验,多组间采用方差分析;方差不齐时两两比较采用 *t* 检验,多组间采用非参数检验; $P < 0.05$  为差异有统计学意义。

## 2 结果

**2.1 细胞产量、纯度、活性:** 每只大鼠可收获原代培养的 AT II 细胞( $2.0 \sim 2.5 \times 10^7$  个),纯度  $>90\%$ ,细胞活性  $>90\%$ 。

DOI: 10.3760/cma.j.issn.1003-0603.2012.10.009

基金项目:湖南省科技基本建设项目(2010-1060)

作者单位:410000 湖南长沙,中南大学湘雅医院重症医学科(刘佩英、徐道妙);413000 湖南,益阳市中心医院重症监护室(刘佩英)

通信作者:徐道妙,Email:xudaomiao@medmail.com.cn

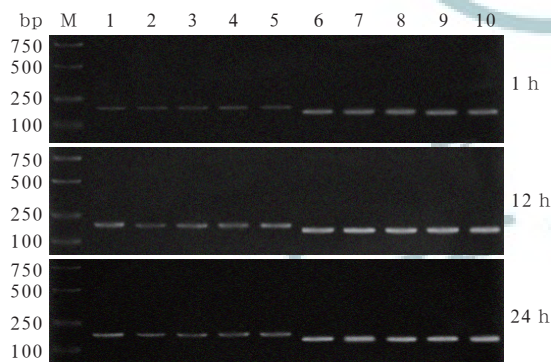
表 1 辛伐他汀对 LPS 诱导 AT II 细胞上清中 TNF- $\alpha$ 、IL-1 $\beta$  表达的影响( $\bar{x} \pm s$ )

组别	TNF- $\alpha$ (ng/L)			IL-1 $\beta$ (ng/L)		
	培养 1 h	培养 12 h	培养 24 h	培养 1 h	培养 12 h	培养 24 h
空白对照组	213.40 $\pm$ 19.27	194.60 $\pm$ 17.29	106.40 $\pm$ 14.84	158.80 $\pm$ 20.27	122.60 $\pm$ 21.86	104.60 $\pm$ 10.64
LPS 损伤组	2336.00 $\pm$ 170.04 <sup>a</sup>	2479.80 $\pm$ 210.41 <sup>a</sup>	1167.60 $\pm$ 132.72 <sup>a</sup>	429.60 $\pm$ 27.39 <sup>a</sup>	822.20 $\pm$ 12.74 <sup>a</sup>	637.60 $\pm$ 22.96 <sup>a</sup>
辛伐他汀低剂量组	1178.80 $\pm$ 127.43 <sup>ab</sup>	1003.60 $\pm$ 59.61 <sup>ab</sup>	695.80 $\pm$ 25.24 <sup>ab</sup>	285.00 $\pm$ 42.60 <sup>ab</sup>	238.60 $\pm$ 24.12 <sup>ab</sup>	213.40 $\pm$ 17.87 <sup>ab</sup>
辛伐他汀高剂量组	965.60 $\pm$ 24.45 <sup>abc</sup>	522.80 $\pm$ 16.89 <sup>abc</sup>	252.40 $\pm$ 17.64 <sup>abc</sup>	225.60 $\pm$ 34.44 <sup>abc</sup>	190.60 $\pm$ 17.64 <sup>abc</sup>	152.80 $\pm$ 14.70 <sup>abc</sup>
溶剂对照组	210.80 $\pm$ 15.99	167.60 $\pm$ 15.58	215.20 $\pm$ 13.33	168.80 $\pm$ 19.22	125.20 $\pm$ 23.24	103.60 $\pm$ 10.74
检验值	H=21.939	H=21.940	H=21.970	F=67.485	F=905.978	F=983.944
P 值	0.000	0.000	0.000	0.000	0.000	0.000

注:LPS:脂多糖,AT II:Ⅱ型肺泡上皮细胞,TNF- $\alpha$ :肿瘤坏死因子- $\alpha$ ,IL-1 $\beta$ :白细胞介素-1 $\beta$ ;与空白对照组比较,<sup>a</sup>P<0.05;与 LPS 损伤组比较,<sup>b</sup>P<0.05;与辛伐他汀低剂量组比较,<sup>c</sup>P<0.05;各组各指标每个时间点样本数为 6

**2.2 各组细胞上清液 TNF- $\alpha$ 、IL-1 $\beta$  浓度比较** (表 1):LPS 损伤组培养 1、12、24 h TNF- $\alpha$ 、IL-1 $\beta$  浓度显著高于空白对照组(均 P<0.05)。辛伐他汀高、低剂量组 TNF- $\alpha$ 、IL-1 $\beta$  浓度较 LPS 损伤组明显下降,但仍较空白对照组上升;其中高剂量组较低剂量组下降更明显(均 P<0.05)。

**2.3 各组细胞中  $\alpha$ -ENaC mRNA 表达比较** (图 1;表 2):各组培养 1 h 时  $\alpha$ -ENaC mRNA 表达差异均无统计学意义(均 P>0.05)。LPS 损伤组培养 12 h、24 h  $\alpha$ -ENaC mRNA 表达均显著低于空白对照组(均 P<0.05)。辛伐他汀低、高剂量组 12 h、24 h  $\alpha$ -ENaC mRNA 表达均较 LPS 损伤组上升,其中高剂量组较低剂量组上升更明显,但仍较空白对照组下降(均 P<0.05)。



$\alpha$ -ENaC:钠通道  $\alpha$  亚基,M:Marker,1:空白对照组,2:脂多糖(LPS)损伤组,3、4:辛伐他汀低、高剂量组,5:溶剂对照组,6~10:分别代表 1~5 相应的三磷酸甘油醛脱氢酶(GAPDH)表达

图 1 逆转录-聚合酶链反应检测各组 AT II 细胞培养 1、12、24 h 时细胞中  $\alpha$ -ENaC mRNA 表达

### 3 讨论

ALI/ARDS 时肺水清除障碍是 AT II 细胞主要的病理生理改变,肺泡水肿液的主动及时清除对 ALI 预后有重要影响<sup>[5]</sup>,而 AT II 细胞上的钠通道在肺水清除中起重要作用<sup>[6]</sup>。

表 2 辛伐他汀对 LPS 诱导 AT II 细胞中  $\alpha$ -ENaC mRNA 表达的影响( $\bar{x} \pm s$ )

组别	$\alpha$ -ENaC(A 值)		
	培养 1 h	培养 12 h	培养 24 h
空白对照组	0.330 $\pm$ 0.022	0.496 $\pm$ 0.027	0.482 $\pm$ 0.030
LPS 损伤组	0.285 $\pm$ 0.030	0.211 $\pm$ 0.021 <sup>a</sup>	0.253 $\pm$ 0.030 <sup>a</sup>
辛伐他汀低剂量组	0.287 $\pm$ 0.029	0.363 $\pm$ 0.030 <sup>ab</sup>	0.309 $\pm$ 0.024 <sup>ab</sup>
辛伐他汀高剂量组	0.318 $\pm$ 0.026	0.413 $\pm$ 0.034 <sup>abc</sup>	0.346 $\pm$ 0.024 <sup>abc</sup>
溶剂对照组	0.337 $\pm$ 0.032	0.495 $\pm$ 0.039	0.480 $\pm$ 0.025
F 值		6.030	79.081
P 值		0.002	0.000

注:LPS:脂多糖,AT II:Ⅱ型肺泡上皮细胞, $\alpha$ -ENaC:钠通道  $\alpha$  亚基;与空白对照组比较,<sup>a</sup>P<0.05;与 LPS 损伤组比较,<sup>b</sup>P<0.05;与辛伐他汀低剂量组比较,<sup>c</sup>P<0.05;各组每个时间点样本数为 6

LPS 刺激肺泡上皮细胞后可释放大量 TNF- $\alpha$  和 IL-1 $\beta$ ,在 LPS 诱导的 ALI/ARDS 发生发展过程中,TNF- $\alpha$  是始动因素,IL-1 $\beta$  则起协调作用<sup>[7]</sup>。TNF- $\alpha$  可通过受体依赖和非受体依赖双重机制调节钠通道。Fukuda 等<sup>[8]</sup>发现,TNF- $\alpha$  在 0.5~1.0 h 内可以使大鼠的肺水清除增加 67%。IL-1 $\beta$  减少  $\alpha$ -ENaC mRNA 表达的机制为 p38 丝裂素活化蛋白激酶(p38MAPK)途径,可明显减少大鼠 AT II 细胞阿米洛利敏感部分的跨膜电流和钠转运<sup>[9]</sup>。而本研究显示,培养 1 h 时辛伐他汀组 TNF- $\alpha$ 、IL-1 $\beta$  的浓度已开始上升,但与 Fukuda 等<sup>[8]</sup>研究结果不一致的是  $\alpha$ -ENaC mRNA 表达并无明显上调,可能因为 LPS 作用 AT II 细胞后 1 h TNF- $\alpha$ 、IL-1 $\beta$  才上升,还未对  $\alpha$ -ENaC mRNA 表达造成影响;或者因为 LPS 所致的 TNF- $\alpha$ 、IL-1 $\beta$  上升,还有其他炎症介质同时释放,与单纯的 TNF- $\alpha$ 、IL-1 $\beta$  作用于 AT II 细胞不同;或者因为在 1 h 时 TNF- $\alpha$ 、IL-1 $\beta$  对  $\alpha$ -ENaC mRNA 的作用相互抵消。Yamagata 等<sup>[10]</sup>研究发现,中性粒细胞和 TNF- $\alpha$  在 ALI 大鼠血液和肺泡灌洗液中上升时,整体肺  $\alpha$ -ENaC mRNA 表达

达被抑制至 72.0%， $\beta$  亚基被抑制至 47.8%，而  $\gamma$  亚基被抑制至 53.9%；将 AT II 直接暴露在 TNF- $\alpha$  下可抑制  $\alpha$ -ENaC mRNA 至 64.0%， $\gamma$  亚基至 78.0%，而未发现  $\beta$ -ENaC mRNA 被抑制。本实验中 AT II 细胞培养 12 h、24 h TNF- $\alpha$ 、IL-1 $\beta$  上升的同时  $\alpha$ -ENaC mRNA 表达下降。

有研究显示，辛伐他汀具有抗炎症反应作用，其可通过核转录因子- $\kappa$ B(NF- $\kappa$ B)途径，阻断 LPS 激活的促炎症介质释放的信号通路，从而减少 TNF- $\alpha$  等炎症介质的释放<sup>[11]</sup>。Fraunberger 等<sup>[12]</sup>和 Kagami 等<sup>[13]</sup>报道辛伐他汀可以降低 LPS 诱导的 TNF- $\alpha$ 、IL-6 蛋白和 mRNA 表达。本研究结果也显示，不同剂量的辛伐他汀可以显著减少 LPS 激活的 AT II 细胞分泌 TNF- $\alpha$ 、IL-1 $\beta$ 。

本研究结果显示，加入辛伐他汀干预后，细胞培养上清液中 TNF- $\alpha$ 、IL-1 $\beta$  蛋白质分泌及细胞  $\alpha$ -ENaC mRNA 表达的变化。干预 1 h 时，不同剂量辛伐他汀组 TNF- $\alpha$ 、IL-1 $\beta$  较 LPS 损伤组下降，但  $\alpha$ -ENaC mRNA 表达未发现有明显改变，其具体机制不明。辛伐他汀干预 12 h、24 h，LPS 所致的 TNF- $\alpha$ 、IL-1 $\beta$  浓度上升幅度大大减小，同时 LPS 所致  $\alpha$ -ENaC mRNA 表达的下调幅度减小。其中辛伐他汀高剂量组  $\alpha$ -ENaC mRNA 表达较低剂量组高，说明大剂量辛伐他汀对 AT II 细胞  $\alpha$ -ENaC 的效果更明显。

综上所述，本研究发现：早期应用辛伐他汀可上调 LPS 诱导的 AT II 细胞  $\alpha$ -ENaC mRNA 表达，从而推断辛伐他汀对肺水的清除有一定疗效，对 ALI/ARDS 有一定的治疗作用，可能的机制为通过调节 TNF- $\alpha$ 、IL-1 $\beta$  的分泌而起作用。

## 参考文献

- [1] Yamagata T, Yamagata Y, Massé C, et al. Modulation of Na<sup>+</sup> transport and epithelial sodium channel expression by protein kinase C in rat alveolar epithelial cells. Can J Physiol Pharmacol, 2005, 83: 977–987.
- [2] 张维, 王导新. 胰岛素对肺泡上皮细胞钠离子通道  $\alpha$  亚基的调控研究. 中国危重病急救医学, 2010, 22: 385–388.
- [3] 李红梅, 王导新. 辛伐他汀对 A549 细胞阿米洛利敏感型钠离子通道  $\alpha$  亚基表达的影响. 激光杂志, 2010, 31: 90–92.
- [4] 司徒镇强, 吴军正. 细胞培养. 修订版. 西安: 世界图书出版公司, 2004: 246.
- [5] 李佳欢, 许敏, 范启新, 等. 丹参酮 II A 磺酸钠对海水浸泡人肺上皮 A549 细胞水通道蛋白 5 的影响. 中国危重病急救医学, 2011, 23: 32–35.
- [6] 蔡添才, 樊毫军, 张健鹏. 急性肺损伤时肺泡上皮 Na<sup>+</sup> 通道研究的进展. 中国危重病急救医学, 2008, 20: 123–125.
- [7] Rubenfeld GD, Caldwell E, Peabody E, et al. Incidence and outcomes of acute lung injury. N Engl J Med, 2005, 353: 1685–1693.
- [8] Fukuda N, Jayr C, Lazrak A, et al. Mechanisms of TNF- $\alpha$  stimulation of amiloride-sensitive sodium transport across alveolar epithelium. Am J Physiol Lung Cell Mol Physiol, 2001, 280: L1258–1265.
- [9] Roux J, Kawakatsu H, Gartland B, et al. Interleukin-1beta decreases expression of the epithelial sodium channel alpha-subunit in alveolar epithelial cells via a p38 MAPK-dependent signaling pathway. J Biol Chem, 2005, 280: 18579–18589.
- [10] Yamagata T, Yamagata Y, Nishimoto T, et al. The regulation of amiloride-sensitive epithelial sodium channels by tumor necrosis factor-alpha in injured lungs and alveolar type II cells. Respir Physiol Neurobiol, 2009, 166: 16–23.
- [11] 马晶, 胡春燕, 蒋庆渊, 等. 辛伐他汀对 T 淋巴细胞炎症反应的影响. 中国老年学杂志, 2009, 29: 3224–3226.
- [12] Fraunberger P, Gröne E, Gröne HJ, et al. Simvastatin reduces endotoxin-induced nuclear factor kappaB activation and mortality in guinea pigs despite lowering circulating low-density lipoprotein cholesterol. Shock, 2009, 32: 159–163.
- [13] Kagami S, Kanari H, Suto A, et al. HMG-CoA reductase inhibitor simvastatin inhibits proinflammatory cytokine production from murine mast cells. Int Arch Allergy Immunol, 2008, 146 Suppl 1: 61–66.

(收稿日期: 2012-05-02)

(本文编辑: 李银平)

## · 科研新闻速递 ·

### 电刺激迷走神经可调节创伤失血性休克后肠道损伤和肺通透性

最近，美国研究人员探讨了电刺激迷走神经是否能保护创伤失血性休克(THS)后的肠道功能，降低肺通透性。实验动物为雄性 SD 大鼠，电刺激迷走神经组大鼠，在 5 V 电压下，刺激左侧颈部迷走神经 10 min。右侧颈动脉和股动脉插管以备放血和血压监测。失血性休克使血压降至 30~35 mm Hg(1 mm Hg=0.133 kPa)，维持 90 min 后回输大鼠全血。3 h 后，用异硫氰酸荧光素(FITC)标记的葡聚糖评估肠通透性，体内注射由伊文思蓝染料注入评估肺通透性，并测定肺髓过氧化物酶水平。结果显示，电刺激迷走神经可减少 THS 诱导的肺损伤的肺通透性( $4.87 \pm 0.78$  比  $8.46 \pm 0.36, P < 0.05$ ) 和中性粒细胞封存( $12.83 \pm 1.16$  比  $19.39 \pm 1.01, P < 0.05$ )；并可降低 THS 引起的肠通透性。研究人员据此得出结论，神经调节可降低肠道通透性，减少肺通透性和肺中性粒细胞封存。

杜明华，编译自《J Trauma Acute Care Surg》，2012, 73: 338–342；胡森，审校